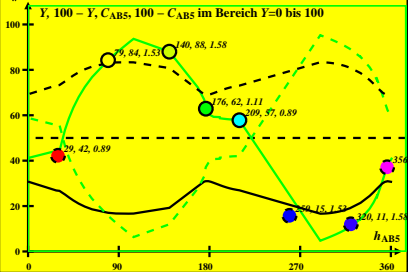


CIE-D50-Daten von -Ostwald-Farben von maximalem Buntwert C_{AB}
 $Y_w=100, Y_m=520_770, B_m=380_520$ und 1-Minus-Daten (- -)

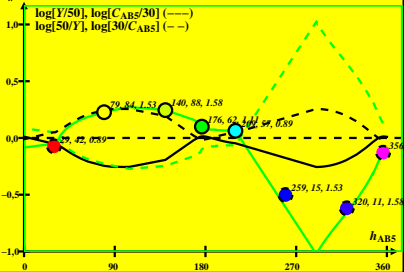
$Y, 100 - Y, C_{AB5}, 100 - C_{AB5}$ im Bereich $Y=0$ bis 100



DG670-1 A_1

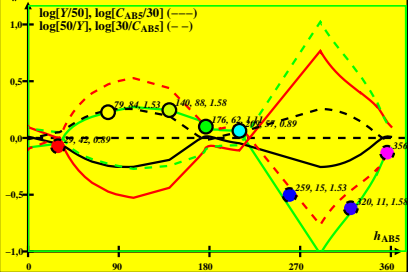
DG670-2A-R

CIE-D50-Daten von -Ostwald-Farben von maximalem Buntwert C_{AB}
 $Y_w=100$, $Y_m=520_770$, $B_m=380_520$ und 1-Minus-Daten (- -)

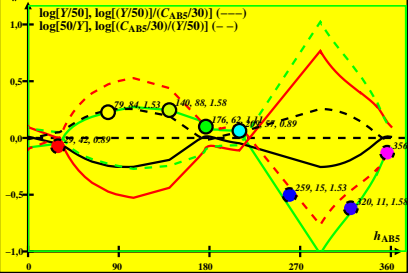


DG670-2A_1

CIE-D50-Daten von -Ostwald-Farben von maximalem Buntwert C_{AB}
 $Y_w=100$, $Y_m=520_770$, $B_m=380_520$ und 1-Minus-Daten (- -)

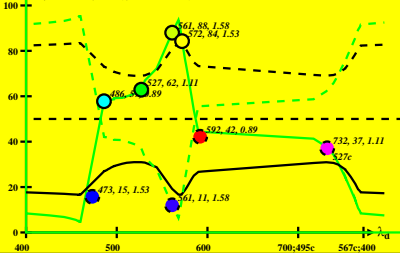


CIE-D50-Daten von -Ostwald-Farben von maximalem Buntwert C_{AB}
 $Y_w=100$, $Y_m=520_770$, $B_m=380_520$ und 1-Minus-Daten (- -)

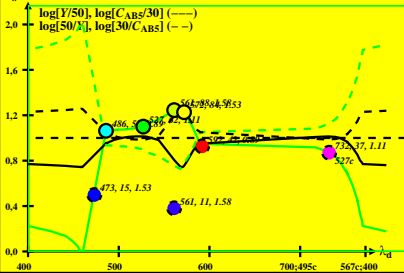


CIE-D50-Daten von -Ostwald-Farben von maximalem Buntwert C_{AB}
 $Y_w=100$, $Y_m=520_770$, $B_m=380_520$ und 1-Minus-Daten (- -)

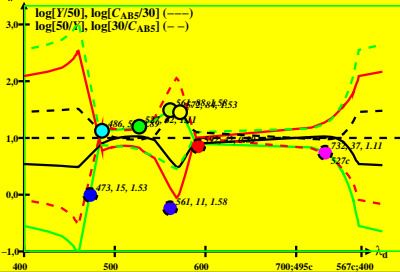
Y , $100 - Y$, C_{AB5} , $100 - C_{AB5}$ im Bereich $Y=0$ bis 100



CIE-D50-Daten von -Ostwald-Farben von maximalem Buntwert C_{AB}
 $Y_w=100$, $Y_m=520_770$, $B_m=380_520$ und 1-Minus-Daten (- -)



CIE-D50-Daten von -Ostwald-Farben von maximalem Buntwert C_{AB}
 $Y_w=100$, $Y_m=520_770$, $B_m=380_520$ und 1-Minus-Daten (- -)



CIE-D50-Daten von -Ostwald-Farben von maximalem Buntwert C_{AB}
 $Y_w=100$, $Y_m=520_770$, $B_m=380_520$ und 1-Minus-Daten (- -)

